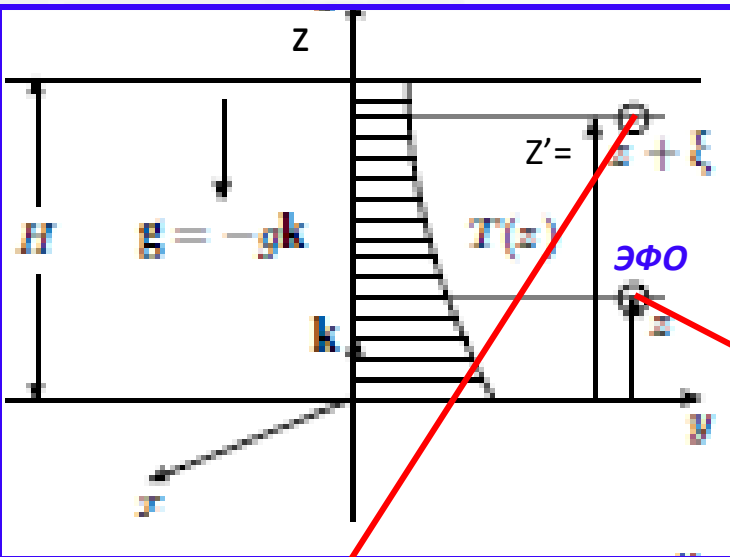


КАЧЕСТВЕННОЕ РЕШЕНИЕ ЗАДАЧИ О ВЕРТИКАЛЬНОМ ПРОФИЛЕ ТЕМПЕРАТУРЫ В ПРИЗЕМНОМ СЛОЕ АТМОСФЕРЫ (1)



Исходное состояние ($t = 0$) сплошной однородной по химическому составу среды-покой. Простейшая модель «приземного» слоя $0 \leq H \leq \sim 10$ км (высота тропопаузы) земной атмосферы. Среда - в поле силы тяжести $\vec{g} = -\vec{k} g$; подогревается снизу (охлаждается сверху): $T(z = 0) > T(z = H)$.

Задача: на качественном уровне исследовать поведение среды при $t > 0$.

Модель процесса: Рассмотрим ЭФО, который в исходном состоянии находится на высоте z . Случайная флуктуация – медленное (изэнтропическое) смещение (всплытие) ЭФО вверх на величину $\xi > 0$. В **исходном состоянии в ЭФО** $T(z), P(z), S(z)$ (S – энтропия).

В **новом (возмущенном)** состоянии: $(z' = z + \xi) T(z') = T' < T(z), P(z') = P' < P(z), S(z') = S' = S(z)$. На ЭФО в новом состоянии действуют одновременно две силы: направленная **вверх** выталкивающая **сила Архимеда** и **вниз – сила тяжести**. **Вопрос:** условие при котором случайная флуктуация (всплытие) будет затухать, т.е. ЭФО из нового состояния будет смещаться вниз, т.е. «потонет». **Ответ:**

$\rho(p', S)g > \rho(p', S')g$ (1), где ρ - плотность среды. Т.к. $\rho = v^{-1}$ (v – удельный объем).

Т.е. \longrightarrow $v(p', S') - v(p', S) > 0$. (2)

(1)

$$v(p', S') - v(p', S) = \left(\frac{\partial v}{\partial S} \right)_p \frac{dS}{dz} \xi = \left(\frac{\partial v}{\partial T} \right)_p \left(\frac{\partial T}{\partial S} \right)_p \frac{dS}{dz} \cdot \xi > 0. \quad (3)$$

$$v(p', S') - v(p', S) = \left(\frac{\partial v}{\partial S}\right)_p \frac{dS}{dz} \xi = \left(\frac{\partial v}{\partial T}\right)_p \left(\frac{\partial T}{\partial S}\right)_p \frac{dS}{dz} \xi > 0 \quad (3) \quad \left(\frac{\partial v}{\partial T}\right)_p = \beta \text{ — коэффициент температурного расширения.}$$

$$\left(\frac{\partial T}{\partial S}\right)_p \text{ -?} \cdot dU = TdS - pdv + vdp - vdp = TdS - d(pv) + vdp \quad (4)$$

$$dH = d(U + pv) = TdS + vdp \quad (5), \quad H = U + pv \text{ — энтальпия.}$$

При $p = \text{const}$ из (5): $dH = TdS$. Т.к. $H = C_p T + H_0$ ($C_p = \text{const}$) $\left(\frac{\partial T}{\partial S}\right)_p = \frac{T}{C_p}$ (6).

Неравенство (3) $\left(\frac{\partial v}{\partial T}\right)_p \left(\frac{\partial T}{\partial S}\right)_p \frac{dS}{dz} \xi = \beta \frac{T}{C_p} \frac{dS}{dz} \xi > 0$ (7). Здесь: $\beta > 0$, $\frac{T}{C_p} > 0$ и $\xi > 0$.

Условие «затухания» возмущения: $\frac{dS}{dz} > 0$ (8). $\frac{dS(p, T)}{dz} = \left(\frac{\partial S}{\partial T}\right)_p \frac{dT}{dz} + \left(\frac{\partial S}{\partial p}\right)_T \frac{dp}{dz} = \frac{C_p}{T} \frac{dT}{dz} + \left(\frac{\partial S}{\partial p}\right)_T \frac{dp}{dz} > 0$ (9).

$$\left(\frac{\partial S}{\partial p}\right)_T \text{ -?} \cdot d\Phi = d(H - TS) = -SdT + vdp \quad (10) \quad \Phi = H - TS \text{ — термодинамический потенциал.}$$

$$d\Phi = \left(\frac{\partial \Phi}{\partial T}\right)_p dT + \left(\frac{\partial \Phi}{\partial p}\right)_T dp \quad (11). \text{ Сравнивая (11) и (10): } S = -\left(\frac{\partial \Phi}{\partial T}\right)_p \quad (12), \quad v = \left(\frac{\partial \Phi}{\partial p}\right)_T \quad (13). \quad \frac{\partial^2 \Phi}{\partial p \partial T} = \frac{\partial^2 \Phi}{\partial T \partial p} \quad (14)$$

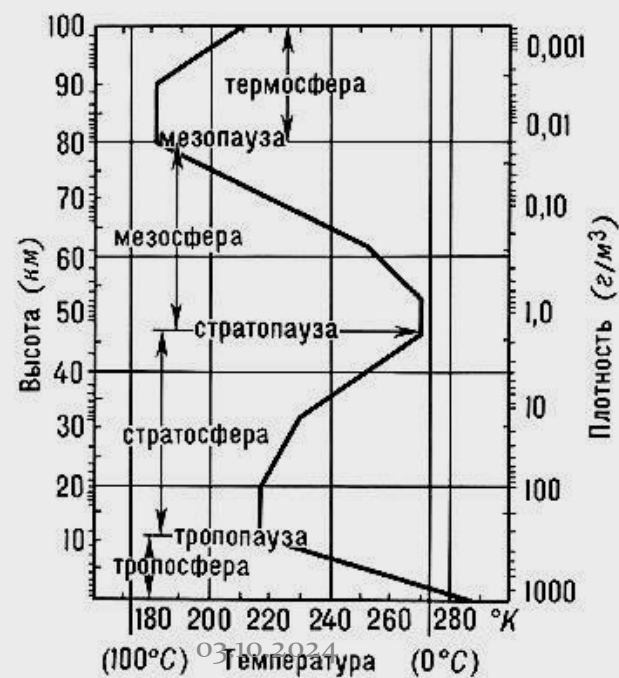
$$\frac{\partial^2 \Phi}{\partial p \partial T} = \left[\frac{\partial}{\partial p} \left(\frac{\partial \Phi}{\partial T} \right)_p \right]_T = -\left(\frac{\partial S}{\partial p}\right)_T \text{ и } \frac{\partial^2 \Phi}{\partial T \partial p} = \left[\frac{\partial}{\partial T} \left(\frac{\partial \Phi}{\partial p} \right)_T \right]_p = \left(\frac{\partial v}{\partial T}\right)_p \cdot \longrightarrow \left(\frac{\partial S}{\partial p}\right)_T = -\left(\frac{\partial v}{\partial T}\right)_p \quad (15)$$

Из (9) $\frac{dS(p, T)}{dz} = \frac{C_p}{T} \frac{dT}{dz} + \left(\frac{\partial S}{\partial p}\right)_T \frac{dp}{dz} = \frac{C_p}{T} \frac{dT}{dz} - \left(\frac{\partial v}{\partial T}\right)_p \frac{dp}{dz} > 0$ (16) $\frac{dT}{dz} > \frac{T}{C_p} \left(\frac{\partial v}{\partial T}\right)_p \frac{dp}{dz}$ (17). Пусть $\frac{dp}{dz} = -\rho g$,

$$\frac{dT}{dz} > -\frac{T}{C_p} \left(\frac{\partial v}{\partial T}\right)_p \frac{g}{v} \quad (18). \text{ Совершенный газ } pv = RT \quad \left(\frac{\partial v}{\partial T}\right)_p = \frac{R}{p}. \text{ Из (18) } \frac{dT}{dz} > -\frac{g}{C_p} \quad (19).$$

Воздух: $g \approx 10 \text{ м/с}^2$; $C_p = 10^7 \frac{\text{эрг}}{\text{г} \cdot \text{градК}}$; $g/C_p \approx 10 \text{ град/км}$.

Стандартизация атмосферы необходима для обеспечения единства измерений и расчетов в авиации, ракетостроении, космонавтике. **Состав** наиболее вероятного сочетания различных газов для установления возможных отклонений от нормы **утвержден государственным стандартом ГОСТ 4401-81, соответствующий Международной стандартной атмосфере**. Многолетние исследования атмосферы, в которые внесли значительный вклад отечественные ученые, позволили уточнить **химический состав сухого воздуха (отсутствуют пары воды) по объему: - азот 78,084%, - кислород 20,948%, - аргон 0,934%, - углекислый газ (CO_2) 0,031%, - 0,003% неон, криптон и ксенон. Водяной пар (H_2O),** попадает в атмосферу в результате испарения с поверхности океанов, морей, озер и рек, а также с поверхности Земли. Количество пара в атмосфере колеблется в зависимости от температуры воздуха и условий испарения количество пара составляет по объему: - в полярных районах 0,2% - в тропиках - до 2,6% в тропиках, а при высоких температурах - до 4,0%. Атмосферный воздух содержит также переменное количество примесей, находящихся во взвешенном состоянии: - пыль, - мельчайшие капли воды и кристаллы льда (H_2O жидкая и твердая фракции), - морская соль, - парниковые газы помимо CO_2 и H_2O , — продукты горения и и др. Общая масса атмосферы Земли $\approx 5,15 \times 10^{15}$ т. Около половины этой массы сосредоточено в слое высотой 5 км над поверхностью Земли, 75% - на высотах до 10 км, 90% - до 16 км, 95% - до 20 км, 99% до высот 30-35 км. Плотность атмосферы на высоте 100 км в миллион раз меньше, чем у поверхности Земли. Верхняя граница атмосферы - высота, на которой плотность ее газов приближается к плотности газа, заполняющего межпланетное пространство - около 100 молекул в 1 см^3 .



Стандартная атмосфера делится на 5 основных сфер: тропосфера, стратосфера, мезосфера, термосфера, экзосфера. В основе деления атмосферы на слои – закономерность изменения температуры в зависимости от высоты над

уровнем мирового океана. **В тропосфере вертикальный градиент температуры:**
$$\frac{(300-220)\text{K}}{10 \text{ км}} \approx 8\text{K/км}$$

Тропосфера - нижний слой атмосферы, простирающийся до 8-10 км в полярных областях, до 10-12 км в умеренных широтах и до 16-18 км в тропиках.

Стратосфера - переходный слой над тропопаузой толщиной ~ 1 км. Верхняя граница стратосферы находится примерно на высоте 50 км. На этой высоте начинается следующий переходный слой - **стратопауза**, над которой до высоты 80 км простирается **мезосфера**. Затем следует **мезопауза**, над которой до высот около 800 км располагается **термосфера**. Выше нее находится **экзосфера**, на верхней границе которой молекулы воздуха перемешиваются с межпланетным газом.

Граница космоса. Линия Кáрмана — высота над уровнем моря, которая условно принимается в качестве границы между атмосферой Земли и космосом и является верхней границей государств. В соответствии с определением Международной авиационной федерации (ФАИ), линия Кармана находится на высоте 100 километров над уровнем моря.

Постановка задачи

Математическая модель

$$\frac{\partial \rho}{\partial t} + \text{div}(\rho \mathbf{v}) = 0 \quad (1)$$

$$\rho \frac{d\mathbf{v}}{dt} = \rho \vec{F} - \nabla P - \text{div} \vec{\tau} \quad (2)$$

Однородная по составу жидкость

~~$$\rho \frac{dc_\alpha}{dt} = w_\alpha - \text{div} \vec{j}_\alpha \quad (\alpha = 1, 2, \dots, N) \quad (3)$$~~

Пренебрегаем излучением

~~$$\rho \frac{dE}{dt} = -\text{div}(\vec{q} + \vec{q}_r) - \text{div}[\vec{v}(\delta P - \tau)] \quad (4)$$~~

$$U = f(\rho, P, T, \dots) \quad (5)$$



$$\left\{ \begin{aligned} \frac{\partial \rho}{\partial t} + \text{div}(\rho \mathbf{v}) &= 0, \\ \rho \frac{d\mathbf{v}}{dt} &= -\nabla P + \rho \mathbf{g} + \frac{\partial \tau_{ik}}{\partial x_k}, \\ \rho \frac{d\varepsilon}{dt} &= -\text{div} \mathbf{q} - \text{div}[\mathbf{v}(\delta_{ik} P - \tau_{ik})], \\ f(\rho, P, T) &= 0. \end{aligned} \right. \quad (6)$$

$$\rho \frac{d\mathbf{v}}{dt} = -\nabla P + \rho \mathbf{g} + \frac{\partial \tau_{ik}}{\partial x_k}, \quad (7)$$

$$\rho \frac{d\varepsilon}{dt} = -\text{div} \mathbf{q} - \text{div}[\mathbf{v}(\delta_{ik} P - \tau_{ik})], \quad (8)$$

$$f(\rho, P, T) = 0. \quad (9)$$

$$\tau_{ik} = \mu^{(1)} \left(\frac{\partial v_i}{\partial x_k} + \frac{\partial v_k}{\partial x_i} - \frac{2}{3} \delta_{ik} \text{div} \mathbf{v} \right) + \mu^{(2)} \delta_{ik} \text{div} \mathbf{v}, \quad (10)$$

$$\mathbf{q} = A \nabla T + B \nabla P + \sum_{\beta=1}^N C_\beta \nabla c_\beta \quad (11)$$

$$\mathbf{q} = -\lambda \nabla T \quad (12)$$

$\rho(T, S) \vec{g}$ - сила тяжести, Архимеда. Уравнение состояния: $\rho = \rho_0(1 - \beta T)$, $\beta = \frac{1}{\rho_0} \left(\frac{\partial \rho}{\partial T} \right)_P$ (13)

Состояние покоя

$$\left\{ \begin{aligned} \mathbf{v}_0 &= 0, \\ -\nabla P_0 + \rho_0 \mathbf{g} &= 0, \\ \Delta T_0 &= 0, \\ \rho_0 &= \bar{\rho}_0(1 - \beta T_0). \end{aligned} \right. \quad (14)$$

Начальные этапы движения жидкости – **малые возмущения**: $f' \ll f$

$$\begin{aligned} \rho(\vec{r}, t) &= \rho_0(\vec{r}) + \rho'(\vec{r}, t); & T(\vec{r}, t) &= T_0(\vec{r}) + T'(\vec{r}, t) \\ P(\vec{r}, t) &= P_0(\vec{r}) + P'(\vec{r}, t); & \vec{v}(\vec{r}, t) &= \vec{v}_0(\vec{r}) + \vec{v}'(\vec{r}, t) \end{aligned} \quad (15)$$

Теплофизические свойства
 $(\lambda, \mu^{(1)}, \mu^{(2)}, C_p, C_v, \dots) - \text{const}$

$$\text{В (14)} \quad \rho_0 \approx \bar{\rho}_0$$

Линеаризация уравнений (6)-(13) - приближение Буссинеска

1) Уравнение неразрывности (6) $\frac{\partial \rho}{\partial t} + \text{div}(\rho \mathbf{v}) = 0$ $\underbrace{\frac{\partial \rho}{\partial t}}_I + \underbrace{\rho \text{div} \mathbf{v}}_{II} + \underbrace{\mathbf{v} \nabla \rho}_{III} = 0$. Т.к. $\rho = \rho_0 + \rho'$ ($\rho' \sim \delta \rho$), члены I-III

$$I \sim \frac{\delta \rho}{\tau}; \quad II \sim \frac{\rho_0 v^*}{L}; \quad III \sim \frac{v^* \delta \rho}{L}.$$

Здесь τ - характерное время возмущения плотности; L - характерный размер рассматриваемой области; $\delta \rho$ - характерное значение возмущенной плотности; v^* - характерное

значение возмущения скорости, причем: $v^* \sim L/\tau$. Поэтому:

$$\frac{I}{II} \sim \frac{\delta \rho}{\tau} \frac{L}{\rho_0 v^*} \sim \frac{\delta \rho}{\rho_0}; \quad \frac{III}{II} \sim \frac{v^* \cdot \delta \rho \cdot L}{L \cdot \rho_0 \cdot v^*} \sim \frac{\delta \rho}{\rho_0}. \quad \delta \rho \ll \rho_0$$

Вместо (6) имеем: $\text{div} \mathbf{v}' = 0$ (16). По виду (16) – уравнение неразрывности для **несжимаемой** жидкости (в (6) $\rho = \text{const}$)

2) Уравнение движения: (7) $\frac{d\mathbf{v}}{dt} = -\frac{\nabla P}{\rho} + \mathbf{g} + \frac{1}{\rho} \frac{\partial \tau_{ik}}{\partial x_k}$. **Общее правило линеаризации:** Если скаляр $f = f_0 + f'$ такой

что $|f'| \ll f_0$ и $|f' \varphi'| \ll |f'| \sim |\varphi'| \ll f_0$, то при преобразованиях остаются только члены нулевого и первого порядка малости. (Примечание: f и φ могут быть и функциями и их скалярными производными. Например, в левой части (7), т.к.

$\mathbf{v} = \mathbf{v}' (v'_x, v'_y, v'_z)$: $\frac{dv'_x}{dt} = \frac{\partial v'_x}{\partial t} + \cancel{v'_x \frac{\partial v'_x}{\partial x}} \approx \frac{\partial v'_x}{\partial t}$, т.е. второе слагаемое – второй порядок малости.

Линеаризуем в (7) $-\frac{\nabla P}{\rho}$ и $\frac{\partial \tau_{ik}}{\partial x_k}$ (следующий слайд)

$$\begin{aligned}
 -\frac{\nabla P}{\rho} &= -\frac{1}{\rho_0 + \rho'} \nabla(P_0 + P') \\
 &= -\frac{1}{\rho_0 \left(1 + \rho'/\rho_0\right)} \nabla(P_0 + P') \\
 &\approx -\frac{1}{\rho_0} \left(1 - \rho'/\rho_0\right) \nabla(P_0 + P') \approx -\frac{\nabla P_0}{\rho_0} - \frac{\nabla P'}{\rho_0} + \frac{\rho'}{\rho_0} \frac{\nabla P_0}{\rho_0} = \\
 &= -\vec{g} - \frac{\nabla P'}{\rho_0} + \frac{\rho'}{\rho_0} \vec{g}
 \end{aligned}$$

$$\tau_{ik} = \mu^{(1)} \left(\frac{\partial v_i}{\partial x_k} + \frac{\partial v_k}{\partial x_i} - \frac{2}{3} \delta_{ik} \operatorname{div} \mathbf{v} \right) + \mu^{(2)} \delta_{ik} \operatorname{div} \mathbf{v}$$

$$\operatorname{div} \mathbf{v}' = 0$$

$$\tau_{ik} = \mu \left(\frac{\partial v'_i}{\partial x_k} + \frac{\partial v'_k}{\partial x_i} \right)$$

т. е. $\frac{\partial \tau_{ik}}{\partial x_k} = \frac{\partial}{\partial x_k} \mu \left(\frac{\partial v'_i}{\partial x_k} + \frac{\partial v'_k}{\partial x_i} \right) = \mu \cdot \Delta \mathbf{v}'$

Было: $\frac{d\mathbf{v}}{dt} = -\frac{\nabla P}{\rho} + \mathbf{g} + \frac{1}{\rho} \frac{\partial \tau_{ik}}{\partial x_k}$

Стало:

$$\frac{\partial \mathbf{v}'}{\partial t} = -\frac{\nabla P'}{\rho_0} + \frac{\rho'}{\rho_0} \mathbf{g} + \nu \Delta \mathbf{v}'$$

где $\nu = \mu/\rho_0$ —

кинематический коэффициент вязкости.

Исходное уравнение баланса полной энергии: $\rho \frac{d\varepsilon}{dt} = -\operatorname{div} \mathbf{q} - \operatorname{div} [\mathbf{v}(\delta_{ik} P - \tau_{ik})]$, где $\varepsilon \approx U = C_V T$; $\mathbf{q} = -\lambda \nabla T$

Линеаризованное УБПЭ: $\frac{\partial T'}{\partial t} + \mathbf{v}' \nabla T_0 = \chi \Delta T'$. Исходное уравнение состояния: $\rho = \rho_0(1 - \beta T)$,

$\chi = \frac{\lambda}{(\rho_0 C_V)}$; $[\chi] = [\nu]$ — коэффициент температуропроводности

Линеаризованное УС: $\rho' = -\rho_0 \beta T'$

Строгая процедура при выводе уравнений движения вязкой, теплопроводной жидкости (газа) в рассматриваемой задаче.

Имеем: $\frac{\partial \rho}{\partial t} + \text{div}(\rho \vec{v}) = 0$ (1) – уравнение неразрывности; $\rho \frac{d\vec{v}}{dt} = \rho \vec{F} + \text{div} \vec{A}$ (2) – уравнение движения, где \vec{A} – тензор напряжений;

$\rho \frac{dE}{dt} = -\text{div} \vec{q} + \rho \vec{F} \cdot \vec{v} + \text{div}(\vec{A} \cdot \vec{v})$ (3) – **уравнение баланса полной энергии**, где $\vec{q} = -\lambda \nabla T$; $E = \frac{\vec{v} \cdot \vec{v}}{2} + C_v T$.

Уравнение (3) перепишем в виде: $\rho \frac{d}{dt} \left(\frac{\vec{v} \cdot \vec{v}}{2} \right) + \rho C_v \frac{dT}{dt} = \text{div}(\lambda \nabla T) + \rho \vec{F} \cdot \vec{v} + \left[\frac{\partial}{\partial x} (\vec{A}_x \vec{v}) + \frac{\partial}{\partial y} (\vec{A}_y \vec{v}) + \frac{\partial}{\partial z} (\vec{A}_z \vec{v}) \right]$ (4).

Исключим из (4) $\rho \frac{d}{dt} \left(\frac{\vec{v} \cdot \vec{v}}{2} \right)$ с помощью (2): Умножим (2) почленно на \vec{v} : $\rho \vec{v} \frac{d\vec{v}}{dt} = \rho \vec{F} \vec{v} + \vec{v} \left(\frac{\partial \vec{A}_x}{\partial x} + \frac{\partial \vec{A}_y}{\partial y} + \frac{\partial \vec{A}_z}{\partial z} \right)$ (5), где $\rho \vec{v} \frac{d\vec{v}}{dt} = \rho \frac{d}{dt} \left(\frac{\vec{v} \cdot \vec{v}}{2} \right)$.

Подставим (5) в (4): $\cancel{\rho \vec{F} \vec{v}} + \vec{v} \left(\frac{\partial \vec{A}_x}{\partial x} + \frac{\partial \vec{A}_y}{\partial y} + \frac{\partial \vec{A}_z}{\partial z} \right) + \rho C_v \frac{dT}{dt} = \text{div}(\lambda \nabla T) + \cancel{\rho \vec{F} \vec{v}} + \vec{v} \left(\frac{\partial \vec{A}_x}{\partial x} + \frac{\partial \vec{A}_y}{\partial y} + \frac{\partial \vec{A}_z}{\partial z} \right) + \left(\vec{A}_x \frac{\partial \vec{v}}{\partial x} + \vec{A}_y \frac{\partial \vec{v}}{\partial y} + \vec{A}_z \frac{\partial \vec{v}}{\partial z} \right)$

Т.е. уравнение (4): $\rho C_v \frac{dT}{dt} = \text{div}(\lambda \nabla T) + \left(\vec{A}_x \frac{\partial \vec{v}}{\partial x} + \vec{A}_y \frac{\partial \vec{v}}{\partial y} + \vec{A}_z \frac{\partial \vec{v}}{\partial z} \right)$ (6), где \vec{A}_x, \vec{A}_y и \vec{A}_z – векторные компоненты тензора \vec{A} :

$$\begin{matrix} \vec{A}_x \\ \vec{A}_y \\ \vec{A}_z \end{matrix} \begin{Bmatrix} A_{xx} & A_{xy} & A_{xz} \\ A_{yx} & A_{yy} & A_{yz} \\ A_{zx} & A_{zy} & A_{zz} \end{Bmatrix} \quad (7). \text{ В (7): } \begin{matrix} A_{xx} = -p + \zeta \text{div} \vec{v} + 2\mu \frac{\partial v_x}{\partial x} & A_{xy} = A_{yx} = \mu \left(\frac{\partial v_x}{\partial y} + \frac{\partial v_y}{\partial x} \right) \\ A_{yy} = -p + \zeta \text{div} \vec{v} + 2\mu \frac{\partial v_y}{\partial y} & A_{xz} = A_{zx} = \mu \left(\frac{\partial v_x}{\partial z} + \frac{\partial v_z}{\partial x} \right) \\ A_{zz} = -p + \zeta \text{div} \vec{v} + 2\mu \frac{\partial v_z}{\partial z} & A_{yz} = A_{zy} = \mu \left(\frac{\partial v_y}{\partial z} + \frac{\partial v_z}{\partial y} \right) \end{matrix} \quad (7) \xrightarrow{\zeta = -\frac{2}{3}\mu} \text{ в (6) в правой части (6)}$$

Рассмотрим преобразования для каждого члена $\left(\vec{A}_x \frac{\partial \vec{v}}{\partial x} + \vec{A}_y \frac{\partial \vec{v}}{\partial y} + \vec{A}_z \frac{\partial \vec{v}}{\partial z} \right)$ отдельно



$$\begin{aligned} \vec{A}_x \frac{\partial \vec{v}}{\partial x} + \vec{A}_y \frac{\partial \vec{v}}{\partial y} + \vec{A}_z \frac{\partial \vec{v}}{\partial z} &= -p \frac{\partial v_x}{\partial x} + \zeta \operatorname{div} \vec{v} \frac{\partial v_x}{\partial x} + 2\mu \left(\frac{\partial v_x}{\partial x} \right)^2 + \mu \left(\frac{\partial v_x}{\partial y} + \frac{\partial v_y}{\partial x} \right) \frac{\partial v_y}{\partial x} + \mu \left(\frac{\partial v_x}{\partial z} + \frac{\partial v_z}{\partial x} \right) \frac{\partial v_z}{\partial x} - p \frac{\partial v_y}{\partial y} + \zeta \operatorname{div} \vec{v} \frac{\partial v_y}{\partial y} + \\ 2\mu \left(\frac{\partial v_y}{\partial y} \right)^2 + \mu \left(\frac{\partial v_x}{\partial y} + \frac{\partial v_y}{\partial x} \right) \frac{\partial v_x}{\partial y} + \mu \left(\frac{\partial v_y}{\partial z} + \frac{\partial v_z}{\partial y} \right) \frac{\partial v_z}{\partial y} - p \frac{\partial v_z}{\partial z} + \zeta \operatorname{div} \vec{v} \frac{\partial v_z}{\partial z} + 2\mu \left(\frac{\partial v_z}{\partial z} \right)^2 + \mu \left(\frac{\partial v_x}{\partial z} + \frac{\partial v_z}{\partial x} \right) \frac{\partial v_x}{\partial z} + \mu \left(\frac{\partial v_y}{\partial z} + \frac{\partial v_z}{\partial y} \right) \frac{\partial v_y}{\partial z} = \\ &= -p \left(\frac{\partial v_x}{\partial x} + \frac{\partial v_y}{\partial y} + \frac{\partial v_z}{\partial z} \right) + \zeta \operatorname{div} \vec{v} \left(\frac{\partial v_x}{\partial x} + \frac{\partial v_y}{\partial y} + \frac{\partial v_z}{\partial z} \right) + 2\mu \left(\frac{\partial v_x}{\partial x} \right)^2 + \mu \left(\frac{\partial v_x}{\partial y} + \frac{\partial v_y}{\partial x} \right) \frac{\partial v_y}{\partial x} + \mu \left(\frac{\partial v_x}{\partial z} + \frac{\partial v_z}{\partial x} \right) \frac{\partial v_z}{\partial x} + 2\mu \left(\frac{\partial v_y}{\partial y} \right)^2 + \\ \mu \left(\frac{\partial v_x}{\partial y} + \frac{\partial v_y}{\partial x} \right) \frac{\partial v_x}{\partial y} + \mu \left(\frac{\partial v_y}{\partial z} + \frac{\partial v_z}{\partial y} \right) \frac{\partial v_z}{\partial y} + 2\mu \left(\frac{\partial v_z}{\partial z} \right)^2 + \mu \left(\frac{\partial v_x}{\partial z} + \frac{\partial v_z}{\partial x} \right) \frac{\partial v_x}{\partial z} + \mu \left(\frac{\partial v_y}{\partial z} + \frac{\partial v_z}{\partial y} \right) \frac{\partial v_y}{\partial z} &= -p \operatorname{div} \vec{v} + \zeta (\operatorname{div} \vec{v})^2 + 2\mu \left(\frac{\partial v_x}{\partial x} \right)^2 + \\ \mu \left(\frac{\partial v_x}{\partial y} + \frac{\partial v_y}{\partial x} \right) \frac{\partial v_y}{\partial x} + \mu \left(\frac{\partial v_x}{\partial z} + \frac{\partial v_z}{\partial x} \right) \frac{\partial v_z}{\partial x} + 2\mu \left(\frac{\partial v_y}{\partial y} \right)^2 + \mu \left(\frac{\partial v_x}{\partial y} + \frac{\partial v_y}{\partial x} \right) \frac{\partial v_x}{\partial y} + \mu \left(\frac{\partial v_y}{\partial z} + \frac{\partial v_z}{\partial y} \right) \frac{\partial v_z}{\partial y} + 2\mu \left(\frac{\partial v_z}{\partial z} \right)^2 + \mu \left(\frac{\partial v_x}{\partial z} + \frac{\partial v_z}{\partial x} \right) \frac{\partial v_x}{\partial z} + \\ \mu \left(\frac{\partial v_y}{\partial z} + \frac{\partial v_z}{\partial y} \right) \frac{\partial v_y}{\partial z} \quad (11) \end{aligned}$$

Таким образом, уравнение баланса энергии (6) $\rho C_v \frac{dT}{dt} = \text{div}(\lambda \nabla T) + \left(\vec{A}_x \frac{\partial \vec{v}}{\partial x} + \vec{A}_y \frac{\partial \vec{v}}{\partial y} + \vec{A}_z \frac{\partial \vec{v}}{\partial z} \right)$

$$\rho C_v \frac{dT}{dt} = \text{div}(\lambda \nabla T) - p \text{div} \vec{v} + \zeta (\text{div} \vec{v})^2 + 2\mu \left[\left(\frac{\partial v_x}{\partial x} \right)^2 + \left(\frac{\partial v_y}{\partial y} \right)^2 + \left(\frac{\partial v_z}{\partial z} \right)^2 \right] + \mu \left(\frac{\partial v_x}{\partial y} + \frac{\partial v_y}{\partial x} \right)^2 + \mu \left(\frac{\partial v_y}{\partial z} + \frac{\partial v_z}{\partial y} \right)^2 + \mu \left(\frac{\partial v_z}{\partial x} + \frac{\partial v_x}{\partial z} \right)^2 \quad (12)$$

При линеаризации (12): 1) $\text{div} \vec{v} = 0$; 2) Подчеркнутые члены – 2-го порядка малости.

Окончательно: $\rho C_v \frac{dT}{dt} = \text{div}(\lambda \nabla T) \longrightarrow \rho C_v \left[\frac{\partial T}{\partial t} + \vec{v} \nabla T \right] = \lambda \Delta T \quad (13)$

$$\rho_0 C_v \left[\frac{\partial T'}{\partial t} + \vec{v}' \nabla T_0 \right] = \lambda \Delta T' \quad (14)$$

Второй член в правой части уравнения

$$\frac{\partial \mathbf{v}'}{\partial t} = -\frac{\nabla P'}{\bar{\rho}_0} + \frac{\rho'}{\bar{\rho}_0} \mathbf{g} + \nu \Delta \mathbf{v}'.$$
 преобразуем, используя $\rho' = -\rho_0 \beta T'$

Окончательно система уравнений, описывающая возмущенное движение «жидкости» имеет вид (1) ($\vec{g} = -\vec{k}g$)

$$\begin{cases} \operatorname{div} \mathbf{v}' = 0, \\ \frac{\partial \mathbf{v}'}{\partial t} = -\frac{\nabla P'}{\bar{\rho}_0} + g \mathbf{k} \beta T' + \nu \Delta \mathbf{v}' \\ \frac{\partial T'}{\partial t} + \mathbf{v}' \nabla T_0 = \chi \Delta T' \end{cases} \quad (1)$$

Переход в (1) к безразмерным переменным.

$$\bar{x} = \frac{x}{L_x}, \quad \bar{y} = \frac{y}{L_y}, \quad \bar{z} = \frac{z}{L_z}, \quad \bar{t} = \frac{t}{\tau}, \quad \bar{\mathbf{v}}' = \frac{\mathbf{v}'}{v^*}, \quad \bar{P}' = \frac{P'}{P^*}, \quad \bar{T}' = \frac{T'}{T^*}.$$

Здесь L_x, L_y, L_z — характерные значения размеров рассматриваемой области возмущённого движения жидкости; τ — характерное время развития возмущений, v^*, P^* и T^* — характерные значения возмущений скорости, давления и температуры.

В рассматриваемой задаче исходным состоянием, на фоне которого развиваются возмущения, является **состояние покоя**, характерные значения искомых функций T^*, P^*, v^* должны быть выбраны, исходя из особенностей постановки задачи, которые состоят в том, что в явном виде отсутствуют характерные значения возмущения температуры T^* , а также возмущения скорости v^* , т. к. $\vec{v}_0 = 0$.

$$\begin{cases} \mathbf{v}_0 = 0, \\ -\nabla P_0 + \rho_0 \mathbf{g} = 0, \\ \Delta T_0 = 0, \\ \rho_0 = \bar{\rho}_0(1 - \beta T_0). \end{cases}$$

Оценка T^* . Особенность задачи — наличие исходного (в состоянии покоя) градиента температуры., т.е. T^* надо оценивать, исходя из оценки характерного значения градиента. В **уравнения в состоянии покоя** градиент температуры явно не входит. Однако его можно получить математически, применив к уравнению $-\nabla P_0 + \rho_0 \vec{g} = 0$ операцию **rot**: $\nabla \times [-\nabla P_0 + \bar{\rho}_0(1 - \beta T_0)g\vec{k}] = 0 \rightarrow \nabla T_0 = -A\vec{k} \quad (2)$

Поэтому $T^* = AL$ ($A > 0$, подогрев снизу). В безразмерном виде (2): $\nabla \bar{T}_0 = -\vec{k} \quad (3)$

$$\begin{cases} \operatorname{div} \mathbf{v}' = 0, \\ \frac{\partial \mathbf{v}'}{\partial t} = -\frac{\nabla P'}{\bar{\rho}_0} + g\mathbf{k}\beta T' + \nu \Delta \mathbf{v}' \\ \frac{\partial T'}{\partial t} + \mathbf{v}' \nabla T_0 = \chi \Delta T' \end{cases}$$

Оценка v^* . В связи с тем, что $\vec{v}_0 = 0$ и отсутствует **явное значение характерной скорости** возмущённого движения, а также с учётом того, что возмущение давления проявляется, как следствие возмущения скорости (следует из формулы Бернулли $P^* = \bar{\rho}_0 (v^*)^2$ выбор характерной скорости v^* - **ключевая** проблема обезразмеривания. Способ решения задачи. Анализ соответствующего уравнения с точки зрения размерности физических коэффициентов, определяющих размерность каждого члена.

Уравнение движения (второе уравнение в системе (1), в котором каждый член имеет размерность $L \cdot T^{-2}$; поэтому: $v^* = \nu L^{-1}$, где размерность коэффициента кинематической вязкости $[\nu] = L^2 T^{-1}$ (здесь T – размерность времени). Отсюда: $P^* = \bar{\rho}_0 (v^*)^2 = \bar{\rho}_0 \nu^2 L^{-2}$ и характерное время: $\tau^* = L^2 \nu^{-1}$.

При обезразмеривании x, y и z : $L_x \sim L_y \sim L_z \sim L$.

Примечание: Далее, для обозначения безразмерных функций и аргументов используются те же обозначения, что и для размерных величин.

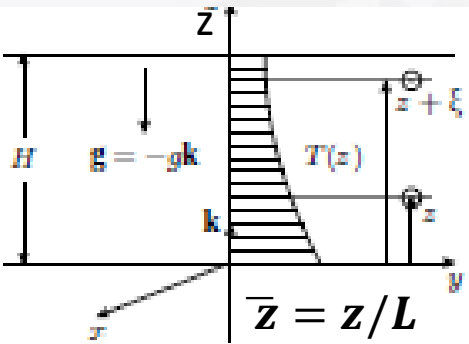
Система уравнений, описывающих возмущенное движение, в безразмерной форме (4):

$$\begin{cases} \operatorname{div} \mathbf{v}' = 0, \\ \frac{\partial \mathbf{v}'}{\partial t} = -\nabla P' + \frac{g\beta AL^4}{\nu^2} \mathbf{k} T' + \Delta \mathbf{v}' \\ \frac{\partial T'}{\partial t} + (\mathbf{v}' \nabla) T_0 = \frac{\chi}{\nu} \Delta T' \end{cases} \quad (4)$$

С учетом $\nabla T_0 = -\vec{k}$ третье уравнение в (4): $\frac{\partial T'}{\partial t} - v'_z = \frac{\chi}{\nu} \Delta T'$, (5), где v'_z -

вертикальная составляющая вектора скорости. В (4) появились два безразмерных комплекса: $\frac{g\beta AL^4}{\nu^2} = Gr$ – число **Грассгофа** и $\frac{\chi}{\nu} = Pr^{-1}$, где Pr – число Прандтля

Подход для получения аналитического решения. Граничные условия Релея. Линейный анализ устойчивости



$$\begin{aligned} \operatorname{div} \vec{v}' &= 0 \\ \frac{\partial \vec{v}'}{\partial t} &= -\nabla P' + Gr \vec{k} T' + \Delta \vec{v}' \quad Gr = \frac{g \beta A L^4}{\nu^2} \\ \frac{\partial T'}{\partial t} - v'_z &= Pr^{-1} \Delta T' \quad Pr^{-1} = \frac{\chi}{\nu} \end{aligned} \quad (5)$$

Граничные условия (ГУ) для задачи (5), при которых можно получить аналитическое решение:

$$\frac{\partial v'_x}{\partial z} = \frac{\partial v'_y}{\partial z} = 0; T' = 0 \text{ при } \bar{z} = z/L = 0, 1 \quad (6)$$

(6) ГУ Релея

Математическая постановка задачи: Попытаться найти аналитическое (близкое к аналитическому) решение системы (5) уравнений (второе уравнение в (5) – векторное) относительно 5 неизвестных (v'_x, v'_y, v'_z, T' и P'). Возмущенная плотность находится из уравнения состояния: $\rho' = \bar{\rho}_0 \beta T'$. ГУ (6) только на v'_x, v'_y и T' , на P' нет.

Стандартный прием в классической гидродинамике – исключение из (5) P' , т. е. снижение числа неизвестных до (v'_x, v'_y, v'_z, T'). **Вопрос: почему и как это можно сделать?** Применим ко 2-му уравнению в (5) $\operatorname{rot} \operatorname{rot} = \nabla \times \nabla \times$:

$$\begin{aligned} \nabla \times \nabla \times \left[\frac{\partial \vec{v}'}{\partial t} = -\nabla P' + Gr \vec{k} T' + \Delta \vec{v}' \right] (6). & \rightarrow \frac{\partial}{\partial t} [\nabla(\nabla \cdot \vec{v}') - \vec{v}'(\nabla \cdot \nabla)] = -\nabla \times \nabla \times \nabla P' + \nabla(\nabla \cdot \Delta \vec{v}') - \Delta \vec{v}'(\nabla \cdot \nabla) + Gr(\operatorname{rot} \operatorname{rot} \vec{k} T') \\ \frac{\partial}{\partial t} \Delta \vec{v}' &= -Gr(\nabla \times \nabla \times (\vec{k} T')) + \Delta \Delta \vec{v}' \quad (7). \nabla \times \nabla \times (\vec{k} T') = \operatorname{rot} \left[\vec{i} \frac{\partial T'}{\partial y} - \vec{j} \frac{\partial T'}{\partial x} \right] = -\vec{k} \left(\frac{\partial^2 T'}{\partial x^2} + \frac{\partial^2 T'}{\partial y^2} \right) + \vec{i}(\dots) + \vec{j}(\dots) \quad (8). \end{aligned}$$

В третье уравнение (5) входит v'_z . Поэтому (7) с учетом (8) рассмотрим относительно v'_z :

$$\frac{\partial}{\partial t} \Delta v'_z = Gr \left(\frac{\partial^2 T'}{\partial x^2} + \frac{\partial^2 T'}{\partial y^2} \right) + \Delta \Delta v'_z = Gr \Delta_h T' + \Delta \Delta v'_z \quad (9); \quad \Delta_h = \frac{\partial^2 T'}{\partial x^2} + \frac{\partial^2 T'}{\partial y^2} - \text{плоский лапласиан.}$$

Для определения ГУ для v'_z продифференцируем $div \vec{v}' = \frac{\partial v'_x}{\partial x} + \frac{\partial v'_y}{\partial y} + \frac{\partial v'_z}{\partial z}$ по z при $\bar{z} = 0, 1$:

$$\frac{\partial}{\partial z} \left(\frac{\partial v'_x}{\partial x} + \frac{\partial v'_y}{\partial y} + \frac{\partial v'_z}{\partial z} \right) = 0 \text{ при } \bar{z} = 0, 1 \longrightarrow \frac{\partial}{\partial x} \left(\frac{\partial v'_x}{\partial z} \right)_{\bar{z}=0,1} + \frac{\partial}{\partial y} \left(\frac{\partial v'_y}{\partial z} \right)_{\bar{z}=0,1} + \frac{\partial}{\partial z} \left(\frac{\partial v'_z}{\partial z} \right)_{\bar{z}=0,1} = 0 \quad (10)$$

В силу ГУ (6) $\left(\frac{\partial v'_x}{\partial z} \right)_{\bar{z}=0,1} = \left(\frac{\partial v'_y}{\partial z} \right)_{\bar{z}=0,1} = 0$ из (10) $\longrightarrow \frac{\partial^2 v'_z}{\partial z^2} = 0$ при $\bar{z} = 0, 1$ (11). Таким образом, задача,

которую надо решать, свелась к:

$$\left\{ \begin{array}{l} \frac{\partial}{\partial t} \Delta v'_z = Gr \Delta_h T' + \Delta \Delta v'_z \\ \frac{\partial T'}{\partial t} - v'_z = Pr^{-1} \Delta T' \\ \frac{\partial^2 v'_z}{\partial z^2} = T' = 0 \text{ при } \bar{z} = 0, 1 \end{array} \right\} \quad (12).$$

Решение (12) ищем в виде:

$$v'_z(x, y, z, t) = v_z(z) \exp[i\omega t + i(k_x x + k_y y)] \quad (13)$$

$$T'(x, y, z, t) = T(z) \exp[i\omega t + i(k_x x + k_y y)] \quad (14)$$

Здесь $v_z(z)$ и $T(z)$ - амплитудные значения искомых функций;

В общем случае $\omega = \omega' + i\omega''$. Мы ограничимся случаем $\omega' = 0$.

Т.е. $\omega = i\omega'' = -i\gamma$ (γ -декремент апериодических возмущений); в (13) и (14) $\exp(i\omega t) = \exp(\gamma t)$.

Подставляя (13) и (14) в (12), получим:

$$\left\{ \begin{array}{l} \gamma [v_z^{\text{II}}(z) - k^2 v_z(z)] = -Gr k^2 T(z) + v_z^{\text{IV}}(z) - 2k^2 v_z^{\text{II}}(z) + k^4 v_z(z), \\ Pr \gamma T(z) = Pr v_z(z) + T^{\text{II}}(z) - k^2 T(z), \\ v_z^{\text{II}}(z) = T(z) = 0 \text{ при } z = 0, 1. \end{array} \right.$$

$$k = k_x^2 + k_y^2$$

(15) — амплитудные уравнения

$$\begin{cases} v_z(z) = \sum_{n=1}^{\infty} a_n \sin \pi n z, \\ T(z) = \sum_{n=1}^{\infty} b_n \sin \pi n z. \end{cases} \quad (16)$$

$$\begin{cases} \gamma [v_z^{\text{II}}(z) - k^2 v_z(z)] = -\text{Gr} k^2 T(z) + v_z^{\text{IV}}(z) - 2k^2 v_z^{\text{II}}(z) + k^4 v_z(z), \\ \text{Pr} \gamma T(z) = \text{Pr} v_z(z) + T^{\text{II}}(z) - k^2 T(z), \\ v_z^{\text{II}}(z) = T(z) = 0 \quad \text{при } z = 0, 1. \end{cases} \quad (15)$$

$$\begin{cases} -(\gamma_n \alpha + \alpha^2) a_n + \text{Gr} k^2 b_n = 0, \\ \text{Pr} a_n - (\alpha + \text{Pr} \gamma_n) b_n = 0. \end{cases} \quad (17)$$

$$\alpha = n^2 \pi^2 + k^2.$$

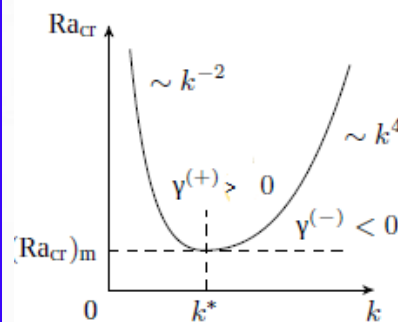
Система (17) имеет нетривиальные решения, если **определитель матрицы коэффициентов** = 0 :

$$\begin{vmatrix} -(\gamma_n \alpha + \alpha^2) & \text{Gr} k^2 \\ \text{Pr} & -(\alpha + \text{Pr} \gamma_n) \end{vmatrix} = 0. \quad (18)$$

$$\gamma_n^{(\pm)} = -\frac{\text{Pr} + 1}{2 \text{Pr}} \alpha \pm \sqrt{\left(\frac{\text{Pr} + 1}{2 \text{Pr}} \alpha\right)^2 + \frac{-\alpha^3 + \text{Gr} \cdot \text{Pr} k^2}{\text{Pr} \cdot \alpha}}. \quad (19)$$

Из (19) следует, что для действительных значений γ_n реализуются 2 моды апериодических возмущений при условии $\text{Gr} \cdot \text{Pr} = \text{Ra} > 0$ (Ra – число Релея). Т.к. $\text{Pr} = \frac{\nu}{\chi} > 0$, а $\text{Gr} = \frac{g \beta L^4}{\nu^2} A$, то $A > 0$, что соответствует отрицательному градиенту температуры («подогрев» снизу-«охлаждение» сверху). Т.к. временной фактор $\sim \exp(\gamma t)$, условие $\gamma_n^{(+)} > 0$ (развитие возмущений со временем) соответствует: $\alpha^3 - \text{Ra} k^2 < 0$, а $\gamma_n^{(-)} < 0$ – обратному неравенству. Следовательно: $\alpha^3 - \text{Ra} k^2 = 0$ (20) – граница устойчивости.

Отсюда $\text{Ra}_{cr} = \frac{\alpha^3}{k^2} = \frac{(\pi^2 n^2 + k^2)^3}{k^2}$ – критическое число Релея.



Качественная зависимость Ra_{cr} от k для n – ой гармоники. Существует $(\text{Ra}_{cr})_{\min} = (27/4) (\pi n)^4$ (при $n = 1$ $(\text{Ra}_{cr})_{\min} \approx 700$).

Гидродинамическая картина возмущённого движения. Ячейки Релея – Бенара

Строгое решение задачи в изложенной постановке (определить поля возмущенной скорости $v'_z(x, y, z, t)$ и температуры $T'(x, y, z, t)$ определяется ранее полученными формулами (1), (2) и (3).

$$\begin{cases} v'_z(x, y, z, t) = v_z(z) e^{i\omega t + i(k_x x + k_y y)} \\ T'(x, y, z, t) = T(z) e^{i\omega t + i(k_x x + k_y y)} \end{cases} \quad (1)$$

$$\begin{cases} v_z(z) = \sum_{n=1}^{\infty} a_n \sin \pi n z, \\ T(z) = \sum_{n=1}^{\infty} b_n \sin \pi n z. \end{cases} \quad (2)$$

$$\begin{cases} -(\gamma_n \alpha + \alpha^2) a_n + \text{Gr} k^2 b_n = 0, \\ \text{Pr} a_n - (\alpha + \text{Pr} \gamma_n) b_n = 0. \end{cases} \quad (3)$$

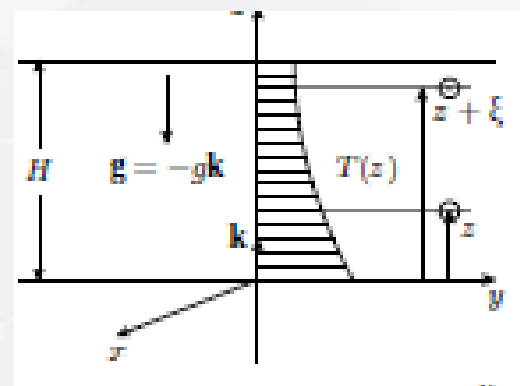
Далее: плоская задача: $\vec{v}'(v'_y, v'_z, t)$. Для n-ой гармоники:

$$v'_z(y, z, t) = v_z(z) e^{\gamma t} e^{ik_y y} = a_n \sin \pi n z e^{\gamma t} e^{ik_y y} \quad (4)$$

Вместо (4) удобно рассматривать

$$v'_z(y, z, t) = a_n \sin(\pi n z) \cdot \cos(k_y \cdot y) e^{\gamma t} \quad (5)$$

Вопрос. Как, зная $v'_z(x, y, z, t)$ из (5), определить $v'_y(x, y, z, t)$?



Вопрос. Как, зная $v'_z(x, y, z, t)$ из (5), определить $v'_y(x, y, z, t)$? Ответ: Из уравнения неразрывности: $div \vec{v}' = \frac{\partial v'_y}{\partial y} + \frac{\partial v'_z}{\partial z} = 0$

Подставляя сюда $v'_z(y, z, t) = a_n \sin(\pi n z) \cos(k_y y) e^{\gamma t}$, получим:

$$v'_y(y, z, t) = -a_n \frac{\pi n}{k_y} \cos(\pi n z) \sin(k_y y) e^{\gamma t} \quad (6)$$

В гидродинамике ключевое понятие – **траектория частицы**. Если определены компоненты скорости (в данном случае $v'_y(y, z, t)$ и $v'_z(y, z, t)$), то уравнения траекторий:

$$\begin{cases} \frac{dy}{dt} = v'_y(y, z, t) \\ \frac{dz}{dt} = v'_z(y, z, t) \end{cases} \quad (7) \text{ с } y(t_0) = y_0; z(t_0) = z_0 \quad (8)$$

Для большей наглядности полезно использовать понятие – **линия тока** – кривая в каждой точке которой в заданный момент времени вектор скорости \vec{v}' направлен по касательной к ней. Уравнение линии тока: $\frac{dy}{v'_y(y, z, t)} = \frac{dz}{v'_z(y, z, t)} \quad (9)$.

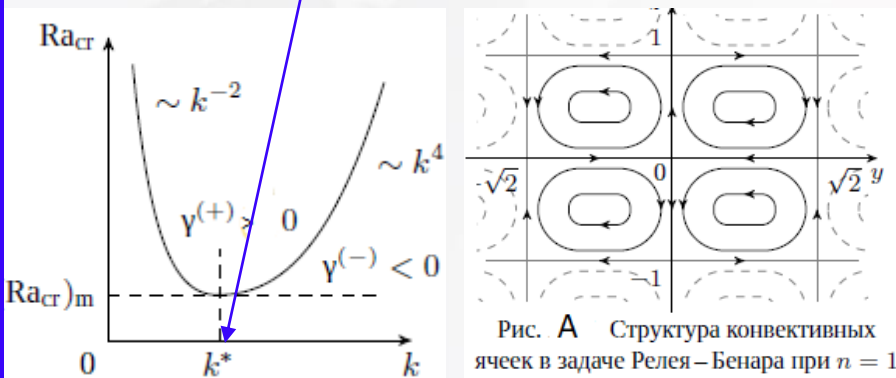
Подставляя в (9) (5) и (6), получим: $\frac{dy}{dz} = - \frac{\pi n \sin(k_y y) \cos(\pi n z)}{k_y \cos(k_y y) \sin(\pi n z)} \quad (10)$. $\rightarrow \sin(k_y y) \sin(\pi n z) = C(t) \quad (11)$, где $-1 \leq c(t) \leq 1$

Линии тока, определяемые (11) – «мгновенная фотография» в момент времени t картины течения, соответствующей n -ой гармонике. Важнейшую роль играет зависящая от времени «constant» $-1 \leq c(t) \leq 1$. При этом особую роль играет

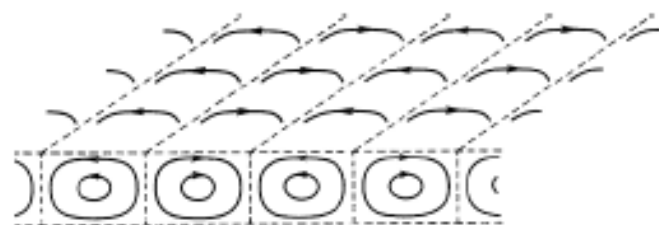
случай $C(t) = 0$. Из (11): $\begin{cases} \sin(\pi n z) = 0, \text{ т.е. } \pi n z = \pi m_1 \quad (m_1 = 0, \pm 1, \pm 2, \dots) \\ \sin(k_y y) = 0, \text{ т.е. } k_y y = \pi m_2 \quad (m_2 = 0, \pm 1, \pm 2, \dots) \end{cases} \quad (12)$

Для примера рассмотрим случай $k^* = k_y^* = \frac{\pi n}{\sqrt{2}}$ при $n = 1$

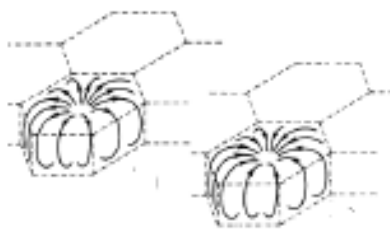
(вспомним картинку). Рис.А – вертикальные и горизонтальные линии – решения (12) $\sin(\pi n z) = 0$, т.е. $\pi n z = \pi m_1$ ($m_1 = 0, \pm 1, \pm 2, \dots$)
 $\sin(k_y y) = 0$, т.е. $k_y y = \pi m_2$ ($m_2 = 0, \pm 1, \pm 2, \dots$)



Внутри каждой прямоугольной ячейки кольцеобразными фигурами показаны качественные картинки - решения уравнения (11) для разных моментов времени, т.е. для разных $C(t) \neq 0$. Рис. А – конвективные ячейки Релея-Бенара (для плоской задачи).



а) Плоская задача

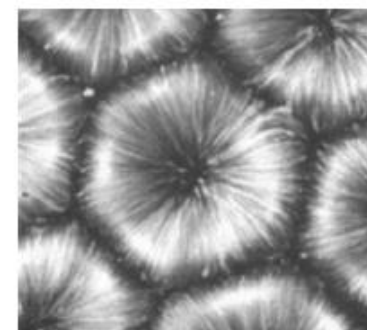


б) Трёхмерная задача

Рис. В Компьютерное моделирование конвективных ячеек

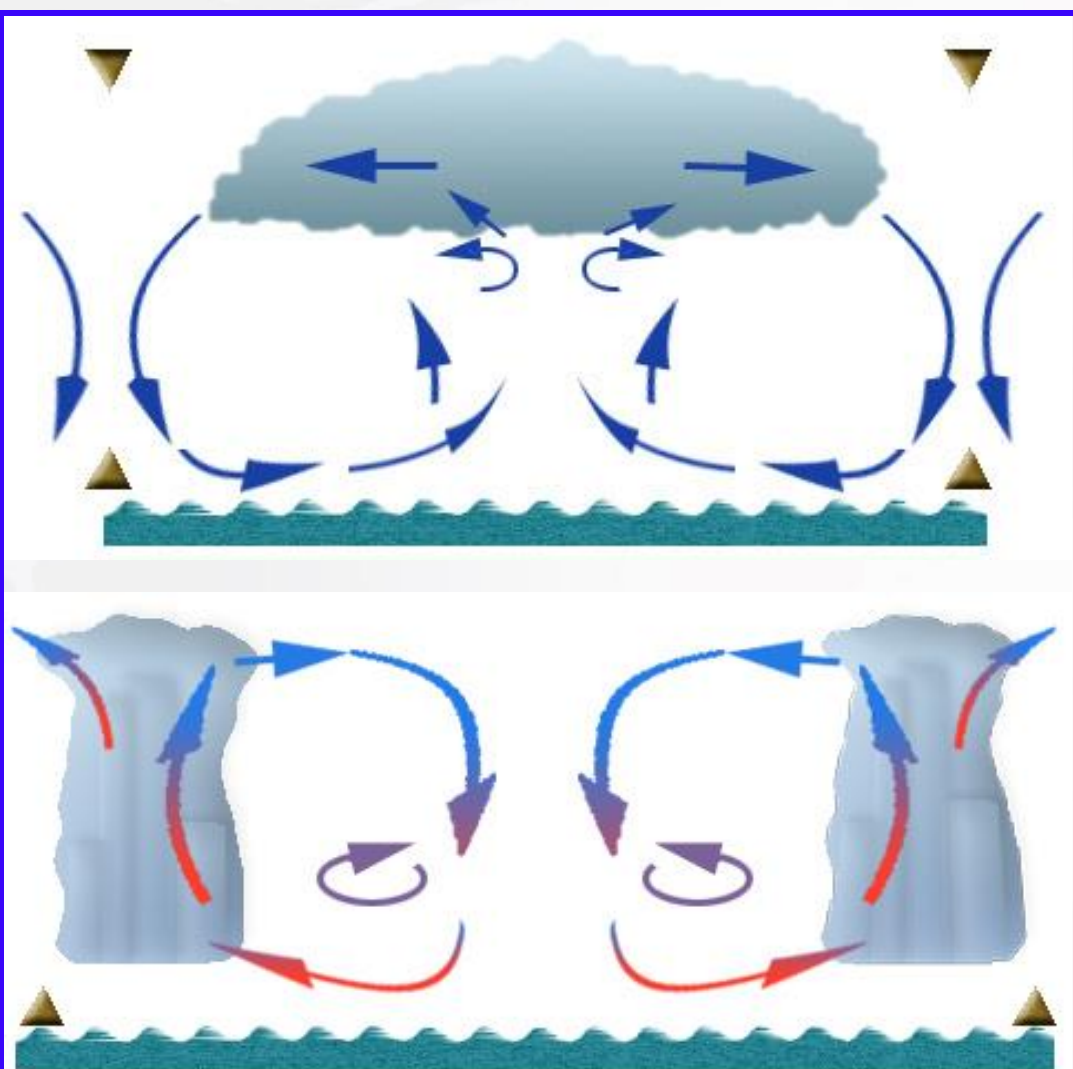


а) Общий вид эксперимента

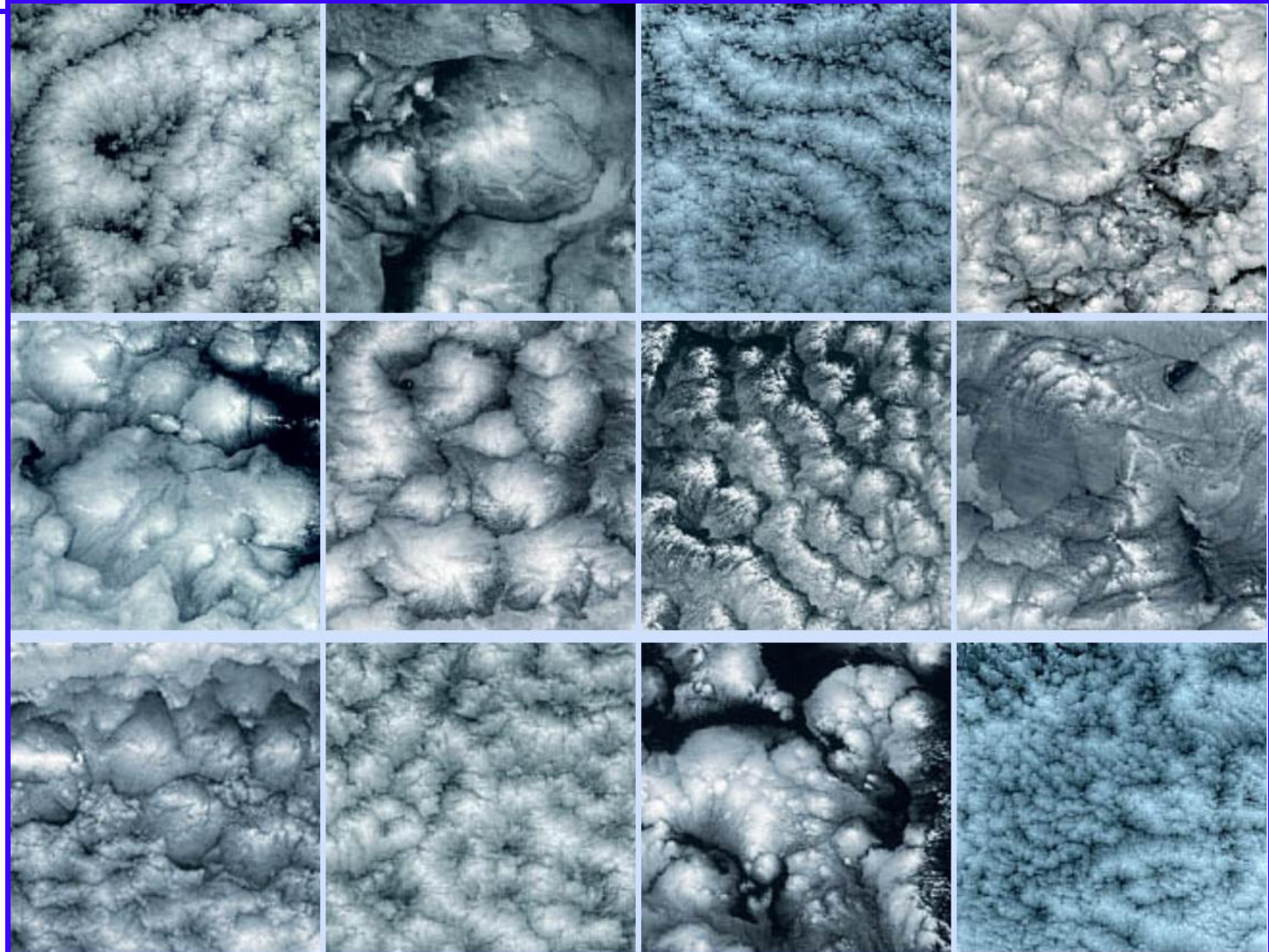


б) Увеличенный фрагмент

Рис. С Опыт, иллюстрирующий структуру конвективных ячеек



Циркуляция воздуха в закрытых (вверху) и открытых (внизу) конвективных ячейках



Облачные ячейки закрытого типа на снимках из космоса

